К статье Бахтерева В.В. – «Исследование импульсной катодолюминесценции серпенти нитов и возможности определения качества (прочности свойств) хризотил-асбеста»

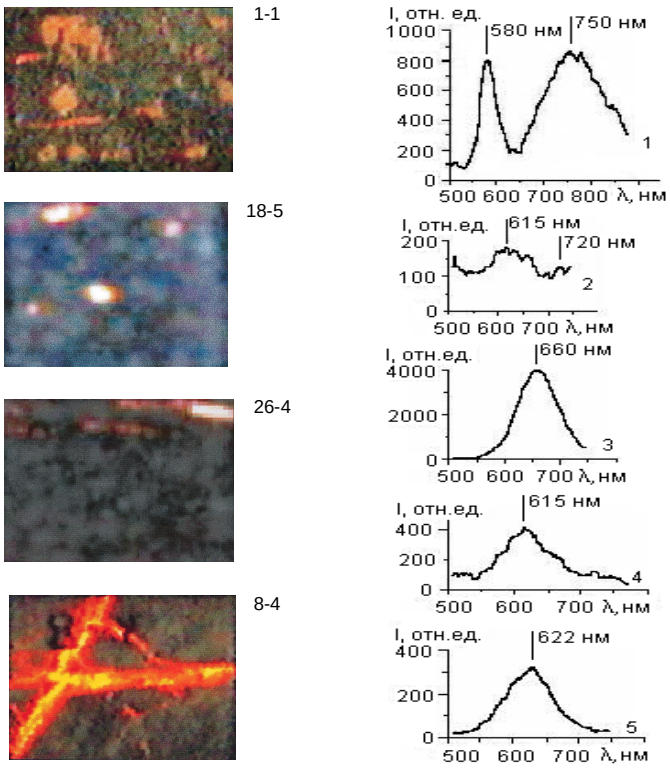

Рис. 1. Фотографии люминесценции образцов серпентинитов (1-1, 18-5, 26-4, 8-4) и типы спектральных кривых (1-5) минеральных включений

К статье Нехорошкова В.Л., Вдовина А.Г. – «Цифровой трехкомпонентный ...»

Рис. 1. Общий вид магнитометра МНТ-3

К статье Дружинина В.С., Начапкина Н.И., Осипова В.Ю. – «Положение восточной границы...»

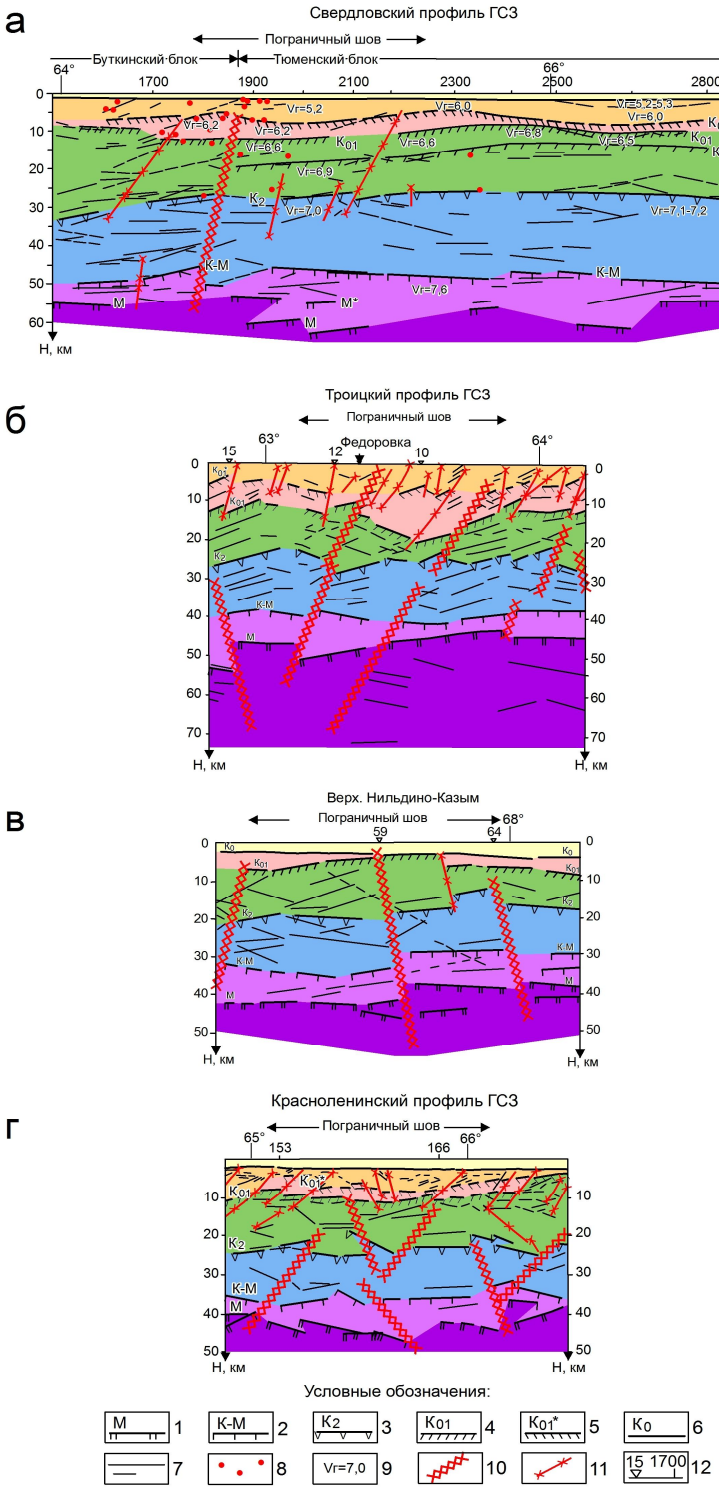

Рис. 1. Глубинные разрезы по профилям ГСЗ в зоне пограничного шва:Свердловский (а), Троицкий (б), Верх. Нильдино-Казым (в), Красноленинский (г); 1 – основной сейсмогеологический раздел М; 2 – поверхность переходного мегакомплекса; 3 – поверхность «нижней коры»; 4 – поверхность древнего кристаллического фундамента; 5 – поверхность нижнего комплекса первого сейсмогеологического этажа; 6 – поверхность консолидированного фундамента; 7 – отражающие элементы и границы; 8 – точки дифракции; 9 – значение граничной скорости в км/с; 10 – пограничные структуры между блоками коры и верхней мантии (возможно глубинные разломы); 11 – разломные элементы в земной коре; 12 – линия профиля с пунктами взрывов, пикетами наблюдений и их номера

К статье Дружинина В.С., Начапкина Н.И., Осипова В.Ю. – «Положение восточной границы...»

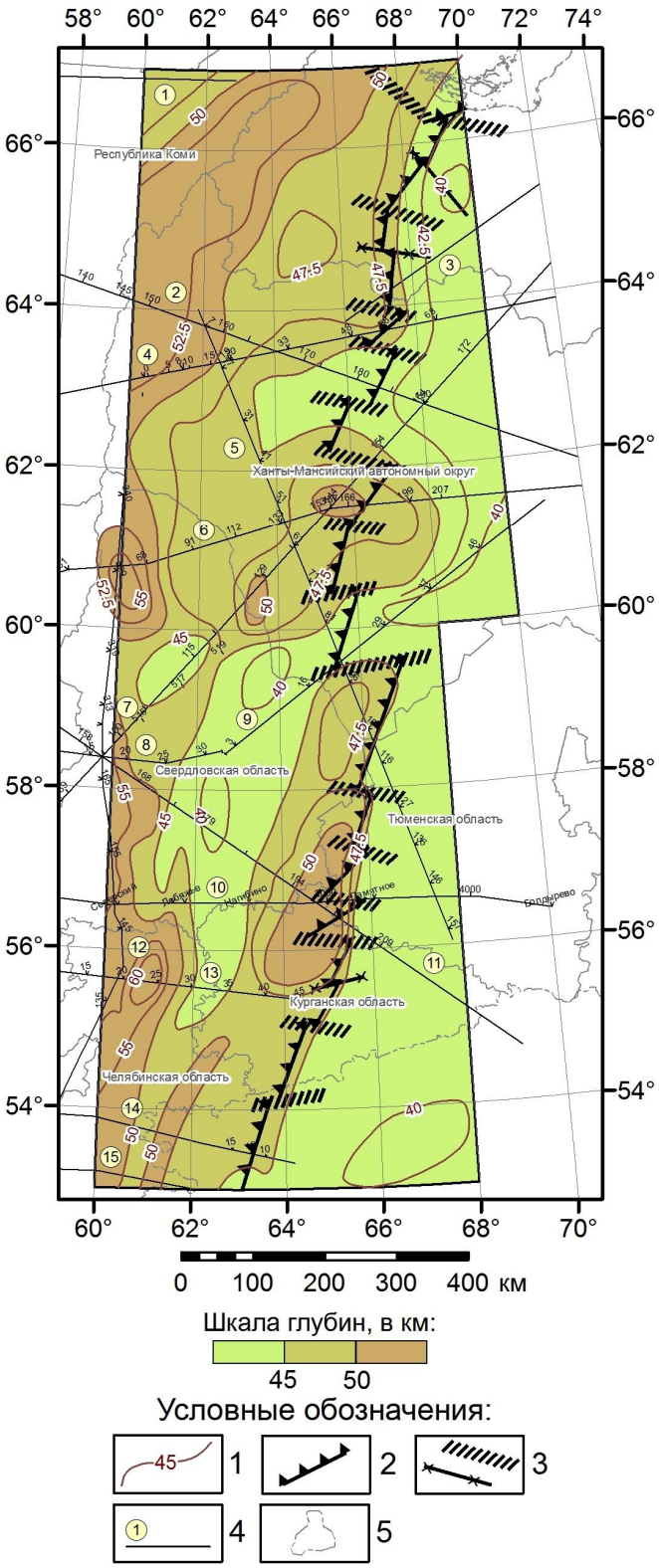

Рис. 2. Схематическая карта мощности земной коры и положение восточной границы уралид: 1 – изолинии рельефа основного сейсмогеологического раздела Мохо, км; 2 – восточная граница (шов) собственно уралид по данным ГСЗ; 3 – субширотные дислокации пограничного шва; 4 – региональные профили ГСЗ: 1 – Агат-1, 2 – Кварц, 3 – Кратон, 4 – Верхненильдино-Казым, 5 – Сев. Сосьва-Ялуторовск, 6 – Красноленинский, 7 – Гранит (Рубин-2), 8 – Красноуральский, 9 – Ханты-Мансийский, 10 – Свердловский, 11 – Рубин-1, 12 – Ниж. Тура-Орск, 13 – Тараташский, 14 – Троицкий, 15 – Уралсейс; 5 – административные границы областей

К статье Дружинина В.С., Начапкина Н.И., Осипова В.Ю. – «Положение восточной границы...»

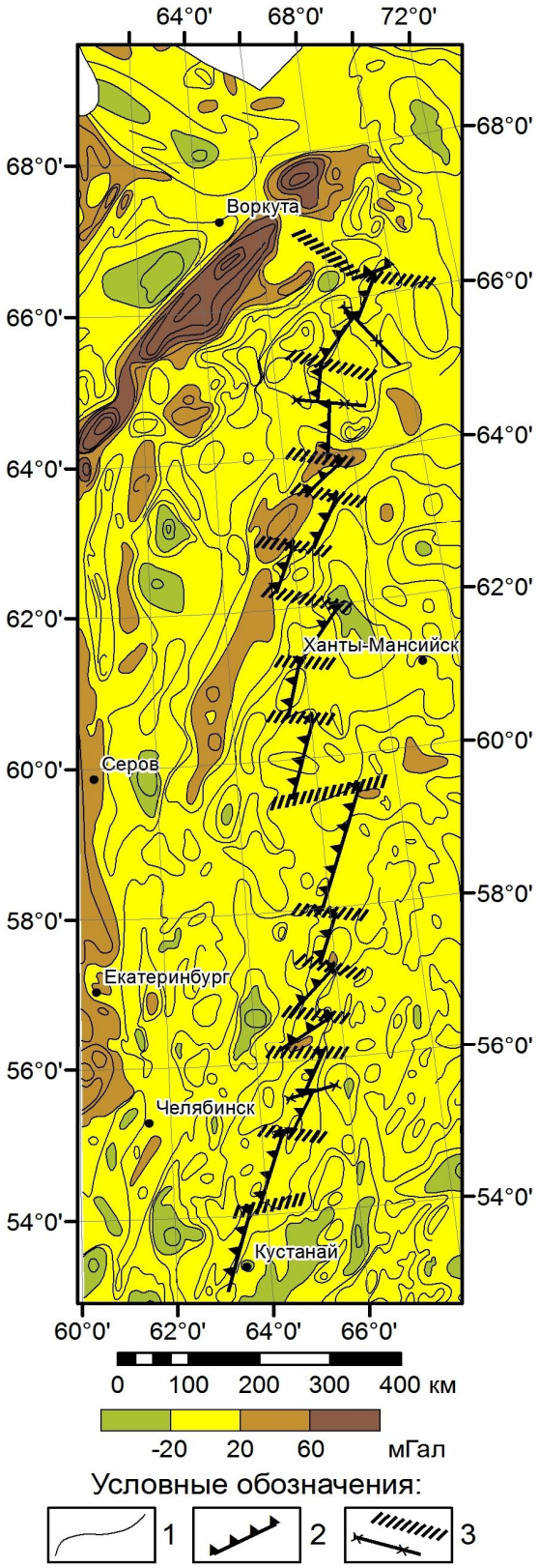

Рис. 3. Карта аномального гравитационного поля Урала: 1 – изолинии аномального гравитационного поля; 2 – восточная граница (шов) собственно уралид по данным ГСЗ; 3 – субширотные дислокации пограничного шва

К статье Светлаковой А.Н., Пучкова В.Н., Горожаниной Е.Н., Горожанина В.М. – «Типы и роль разломов в строении юго-восточной окраины Русской платформы по новым … ».

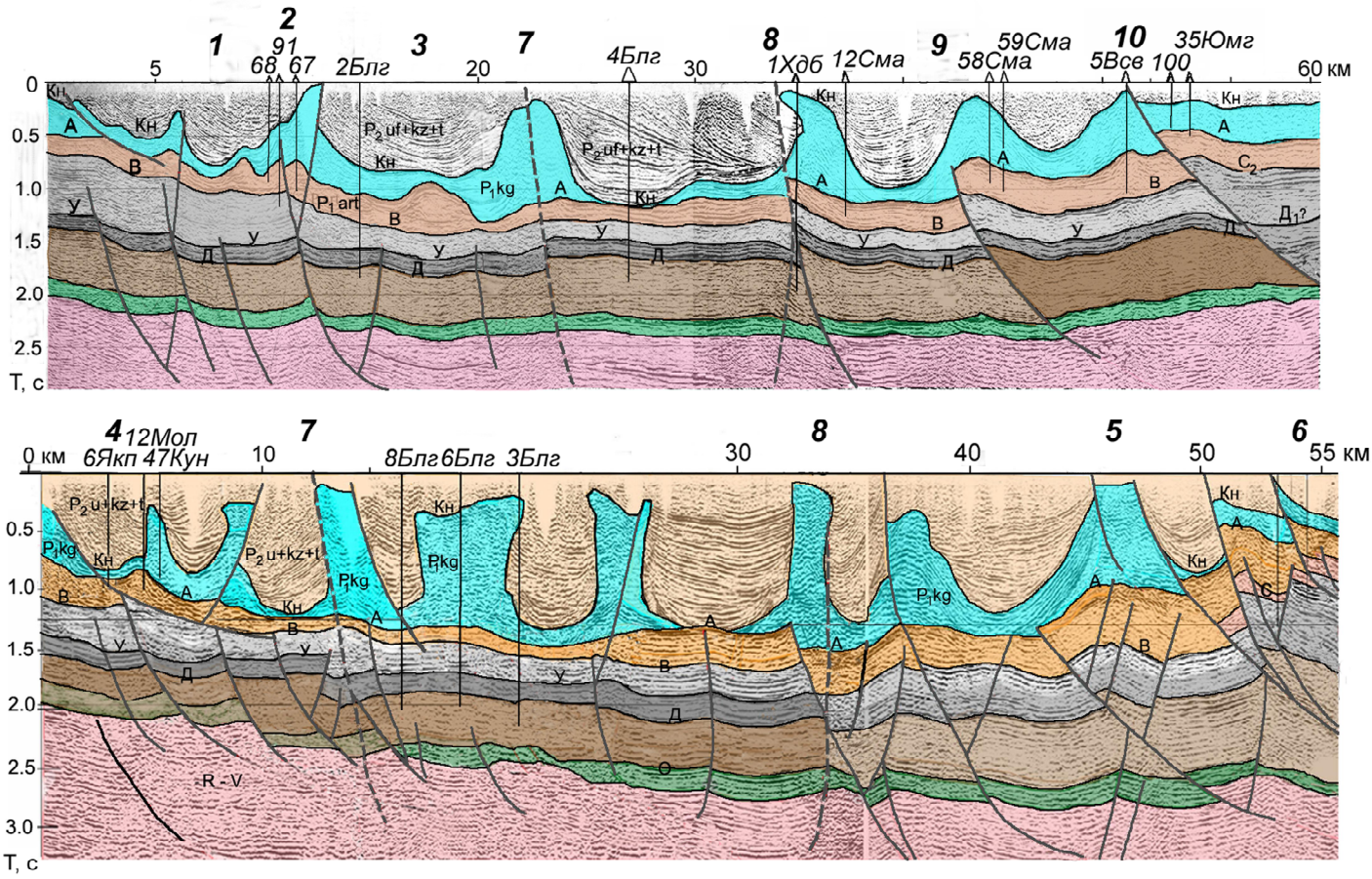

Рис. 7. Временной и сейсмогеологический разрезы по профилям № 14 и 10:
1 – Западно-Кумертауский риф, 2 – Северо-Кумертауский риф, 3 – Восточно-Егорьевское поднятие, 4 – Молокановский риф, 5 – Тавакановское поднятие, 6 – Саратовское поднятие, 7 – Бугульчанский сдвиг, 8 – Ялчино-Рамеевский сдвиг, 9 – Волостновско-Тавакановский надвиг, 10 – Юмагузинско-Ибраевский надвиг; скважины: *Блг* – Белоглинские, *Хдб* – Худайбердинская, *Сма* – Смаковские, *Юмг* – Юмагузинская, *Якп* – Якуповская, *Мол* – Молокановская, *Куч* – Кучумовская; сбросы и надвиги обозначены сплошными линиями; сложные сдвиговые нарушения – штриховыми; остальные обозначения см. на рис. 3; вертикальный масштаб: 1 сек соответствует 2 км

К статье Светлаковой А.Н., Пучкова В.Н., Горожаниной Е.Н., Горожанина В.М. – «Типы и роль разломов в строении юго-восточной окраины Русской платформы по новым … ».

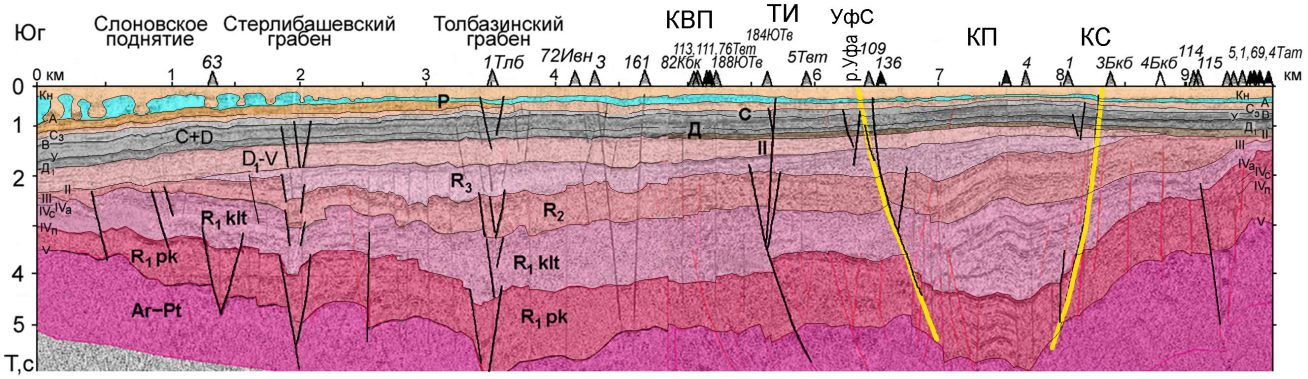

Рис. 4. Временной разрез по профилю № 7 (южный фрагмент): условные обозначения: КВП – Кабаковско-Вавиловское поднятие; ТИ – Тавтиманово-Иглинский выступ; УфС – Уфимский сдвиг; КП – Кушкульское поднятие; КС- Каратауский сдвиг; *63* – номера скважин (*Тлб* – Толбазинская, *Ивн* – Ивановская, *Кбк* – Кабаковская, *Твт* – Тавтимановские, *ЮТв* – Южно-Тавтимановская, *Бкб* – Байкибашевские, *Тат* – Татышлинские); желтым цветом показаны сдвиги; остальные обозначения см. на рис. 3

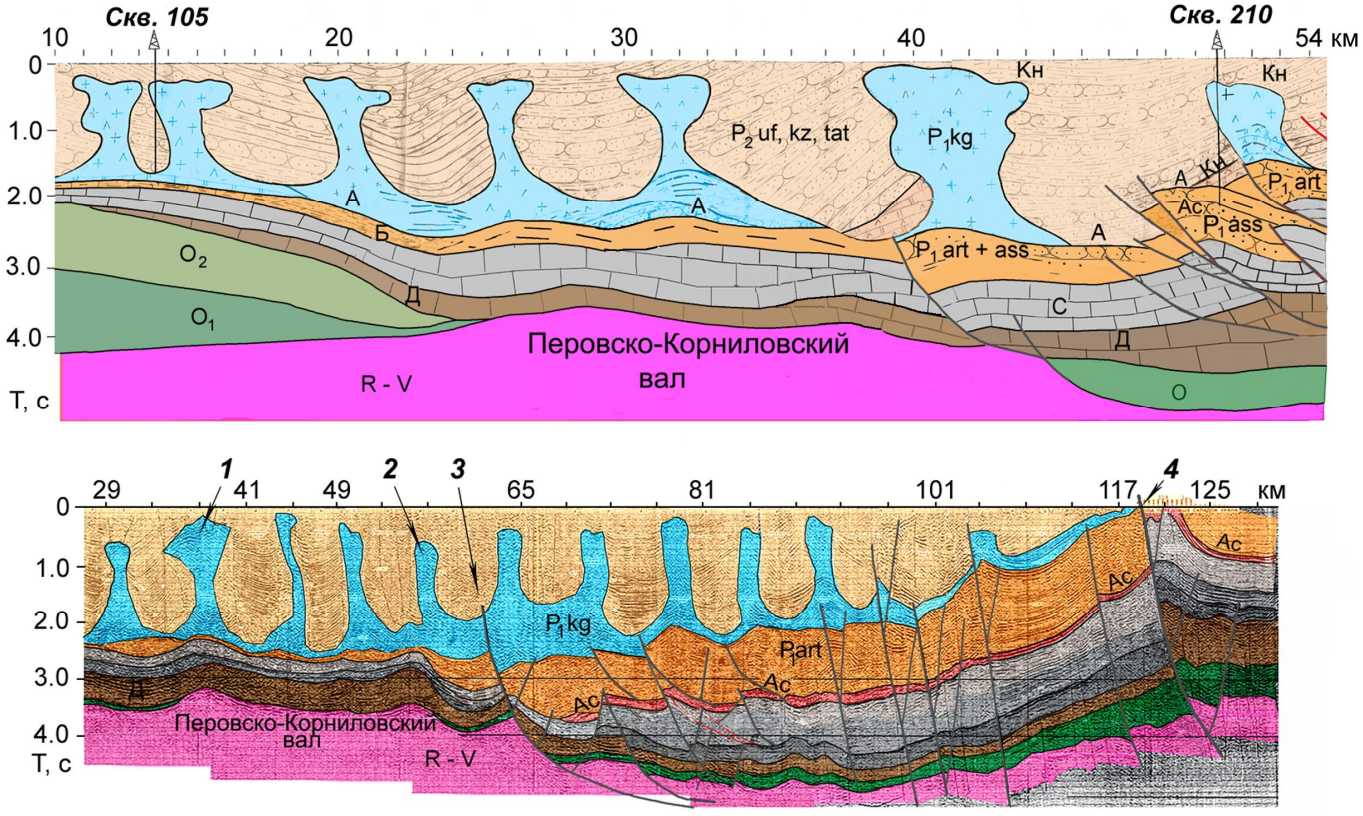

Рис. 6. Временной и сейсмогеологический разрезы по профилям Медногорскому и № 26: условные обозначения: 1 – Кзылобинский соляной купол, 2 – Орловский соляной купол, 3 – Орловский сброс, 4 – Сюреньский сдвиг; остальные обозначения см. на рис. 3; вертикальный масштаб: 1 сек. соответствует 2,5 км

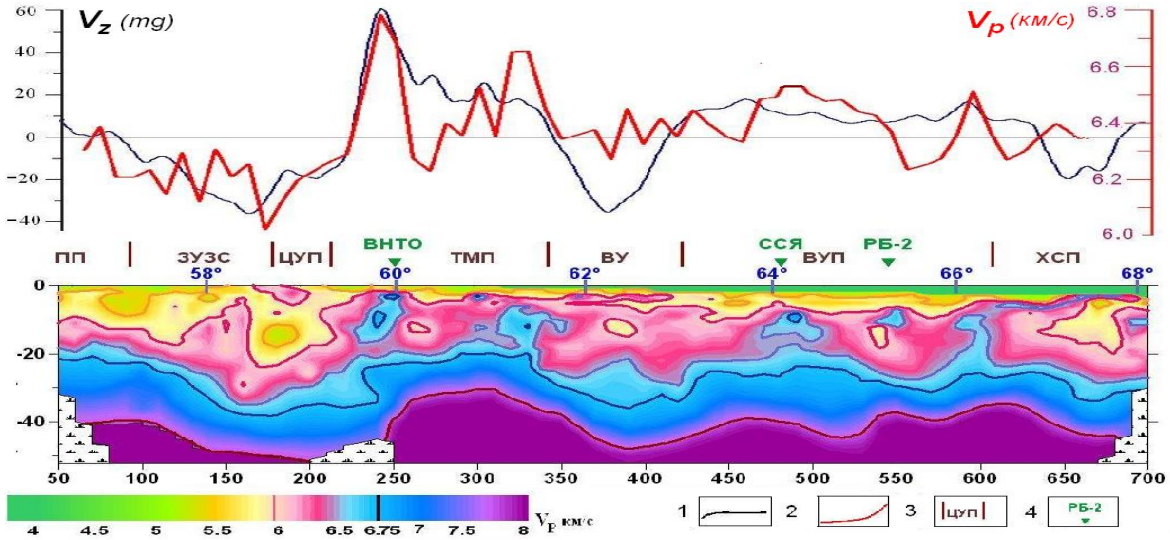

Рис. 2. Сейсмический разрез земной коры в изолиниях скорости *Vp* по Красноленинскому профилю (при расчетах использованы мат-лы ГСЗ, полученные Баженовской геофизической экспедицией): 1 – график средней скорости *Vp* в консолидированной земной коре; 2 – график гравитационного поля; 3 – тектонические структуры по И.Д. Соболеву: ПП – Предуральский прогиб, ЗУЗС – Западно-Уральская зона складчатости, ЦУ – Центрально-Уральское поднятие, ТМП – Тагильский прогиб, ВУ – Восточно-Уральское поднятие, ВУП – Восточно-Уральский прогиб, ХСП – Ханты-Мансийское поднятие; 4 – места пересечения с профилями ГСЗ: 1 – Вижай-Н.Тура-Орск, 2 – Сев. Сосьва-Ялуторовск, РБ-2 – «Рубин-2»

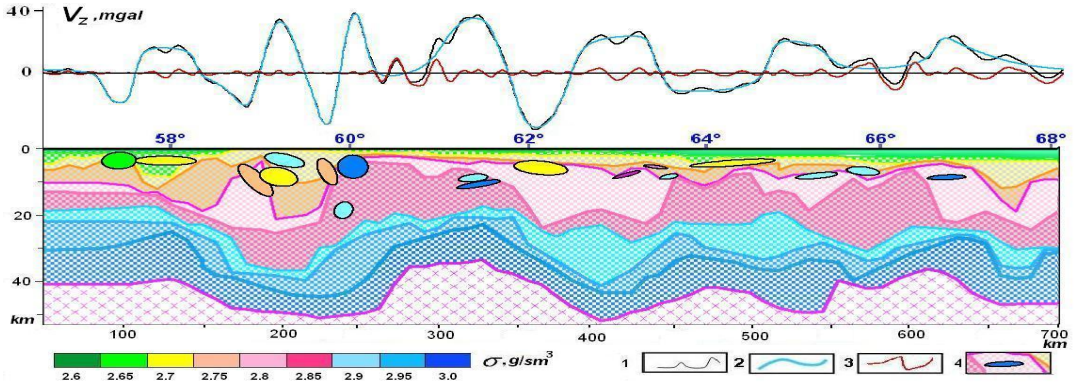

Рис. 5. Источники локальных аномалий в земной коре по Красноленинскому профилю: 1 – разностное гравитационное поле первого приближения; 2 – модельное поле источников; 3 – остаточное поле; 4 – источники локальных аномалий.

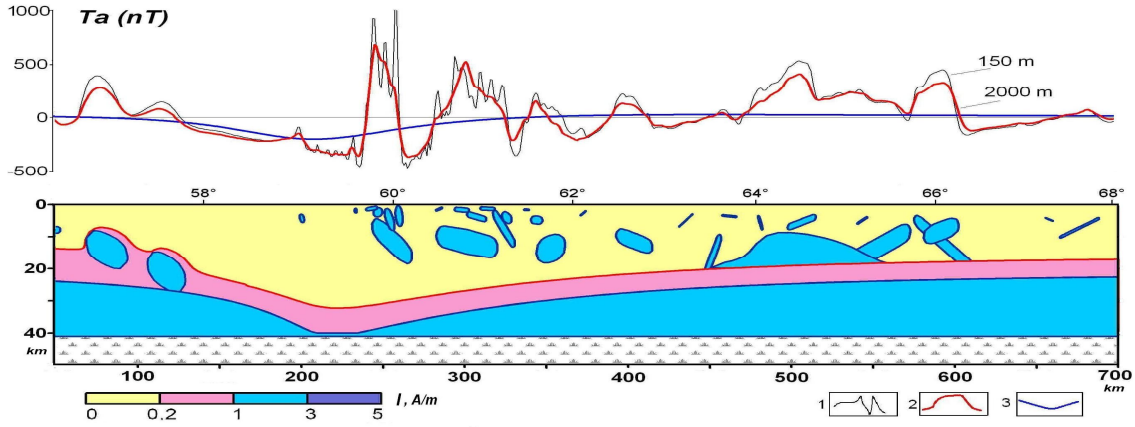

Рис. 6. Модель намагниченности земной коры по Красноленинскому профилю. Использованы данные специальной региональной аэромагнитной съемки (Чурсин, Федорова, Шапиро, 1998):1 – аномальное магнитное поле на высоте 150 м; 2 – магнитное поле на высоте 2000 м; 3 – региональная составляющая

К статье Федоровой Н.В., Колмогоровой В.В., Ладовского И.В. – «Геофизические модели...»

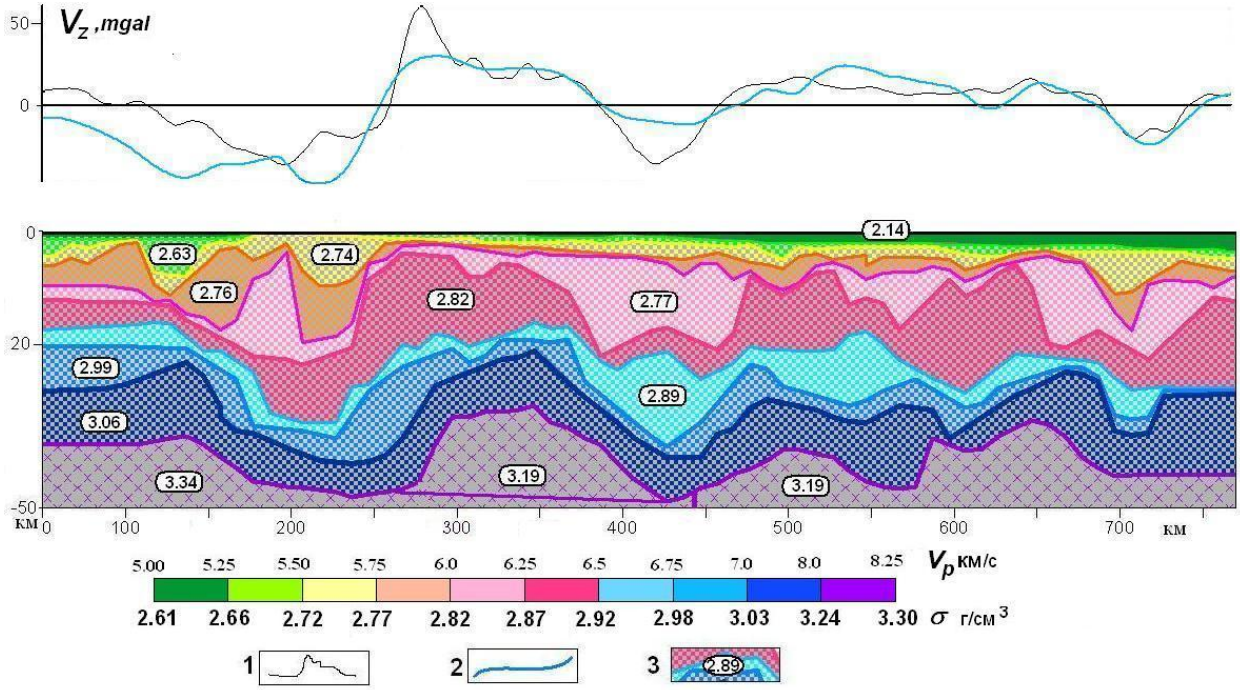

Рис. 3. Сейсмоплотностной разрез по Красноленинскому профилю ГСЗ, построенный на основе генерализованной скоростной модели: шкала «скорость – плотность» дана для модели начального приближения по зависимости *s(Vp)* (Дружинин, Кашубин, 1982); 1 – гравитационное поле; 2 – модельное гравитационное поле; 3 – значения плотностей по разрезу, полученные в результате решения линейной обратной задачи гравиметрии

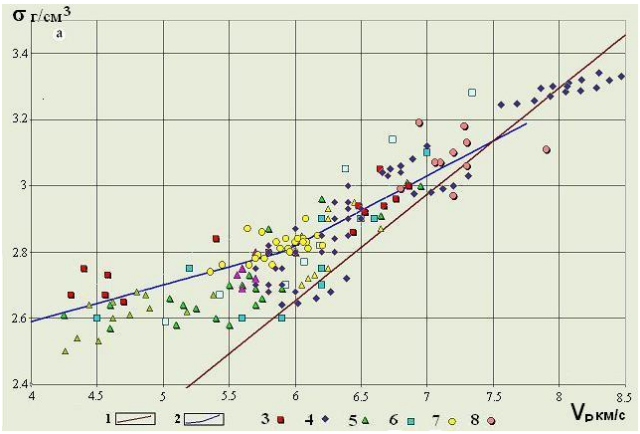

Рис. 4а. Сводные данные о плотности и скорости для различных выборок горных пород и корреляционная зависимость «скорость – плотность» по данным: 1 – (Красовский, 1989);
2 – (Дружинин, Кашубин, 1982);
3 – (Алейников, 1982); 4 – (Галдин, 1977);
5 – (Рабинович, 1978); 6 – (Халевин, 1986)
7 – (Juhlin C., 1997); 8 – (Афанасьев, 1976)

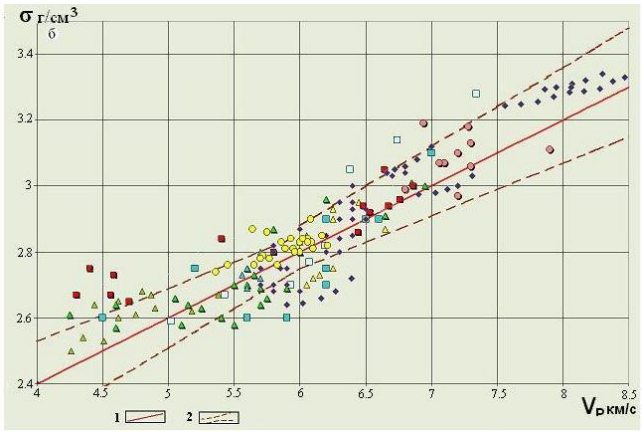

Рис. 4б. Корреляционная зависимость «скорость – плотность», полученная на основе решения линейной обратной задачи гравиметрии по Красноленинскому профилю ГСЗ: петрофизические данные те же, что и на рис. 4а; 1 – линия регрессии; 2 – границы доверительного интервала